

M523 初期不整を有する二軸力を受ける球殻の非線形挙動に関する研究

平松宗也 (指導教員: 正岡, 柴原)

1. 緒言

薄板溶接構造物には溶接時の熱影響等により初期不整が発生する。初期不整を有する球殻の座屈強度は古典座屈理論によって求められる座屈強度より極端に低い値を示すことが知られている。例えば LNG 船球殻タンクには二軸力が作用することにより座屈などの非線形挙動が発生し、初期不整の影響による強度低下が生じるが、現在座屈強度低下率は実験から得られた知見による式により求められている。本研究では、より一般的で合理的に初期不整を有する球殻の座屈強度低下率を解析するために非線形有限要素法による解析手法を開発した。

2. 有限要素法解析

現在研究室で開発されている有限要素法プログラム ULTSTRUCT は MITC 平面シェル要素を使用している。

本研究では曲面構造物である球殻を解析するため現在の MITC 平面シェル要素に代わる MITC 曲面シェル要素を導入した。MITC 曲面シェル要素は埋め込み座標を用いることにより 1 要素内の節点を 1 平面上に存在する必要が無い。これにより要素自体が平面ではなく、曲面をもつ要素であり、平面を表すことはもちろん、曲面を表すにも長けた要素であると考えられる。

また shear locking の一因が面外せん断歪の内挿関数にあることが明らかになり、近年、面外せん断歪の内挿関数を見直す要素が種々開発されている。これらの要素における面外せん断歪は、従来の方法に従って変位から内挿して求めるのではなく、あるサンプリング点の面外せん断歪を再定義した内挿関数から新たに求められる。今回の 4 節点 MITC 曲面シェル要素では Fig. 1 のように 4 つのサンプリング点 (Tying Point) より面外せん断歪を内挿した。このときの内挿関数は式(1)に示す。

また 4 節点 MITC 曲面シェル要素に続いて 9 節点、16 節点の MITC 曲面シェル要素を導入した。多節点の要素を導入することにより内挿関数が多項式になるので、少ない要素で構造物の詳細な変形、応力を表現できると考えられる。多節点要素においては 5 つの歪成分 $\varepsilon_{\xi\xi}$, $\varepsilon_{\eta\eta}$, $\gamma_{\xi\eta}$, $\gamma_{\xi\zeta}$, $\gamma_{\eta\zeta}$ を Tying Point を使い内挿する。

9 節点要素は Fig. 2 (a), 16 節点要素は Fig. 2 (b)に示す Tying Point を使用し、歪を内挿した。内挿関数は一般に式 (2) に示されるようなラグランジェ補間を用いて導いた。また面内せん断歪 $\gamma_{\xi\eta}$ に関しては Tying Point が少なくなっており、内挿関数の次数が低減される。

3. ベンチマークテスト

本研究で作成した MITC 曲面シェル要素の精度を確認するため 2 種類のベンチマークテストを行った。なお、ベンチマークテストは線形弾性範囲において行った。

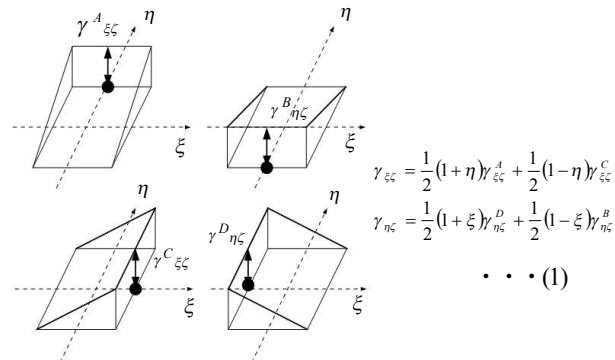
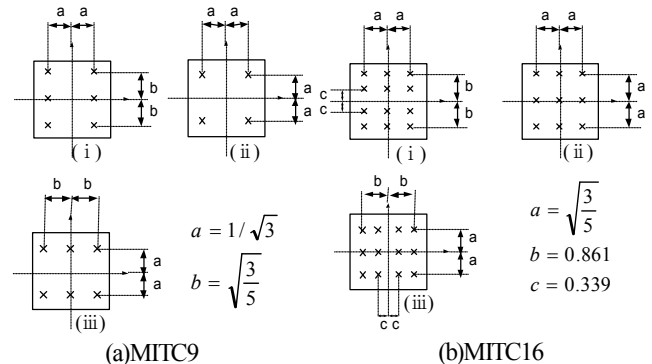


Fig. 1 Sampling points of transverse shear strain of MITC4



Components (i) $\varepsilon_{\xi\xi}$, $\gamma_{\xi\zeta}$ (ii) $\gamma_{\eta\zeta}$ (iii) $\varepsilon_{\eta\eta}$, $\gamma_{\eta\zeta}$

$$P_n(x) = \sum_{k=0}^n \frac{\prod_{i=1}^n (x - x_i)}{\prod_{i=1}^n (x_k - x_i)} \times y_k \quad \dots (2)$$

Fig. 2 Strain interpolations and tying points of the MITC9 and MITC16

3.1 Pinched Cylinder

Fig. 3 に示すような円筒のモデルを使用した。円筒の中央の上下方向より集中荷重 $P=1$ を作用させ、荷重点の変位を理論値¹⁾と比較した。境界条件は円筒の両端においては長さ方向変位を除いて固定とし、両端以外においてはすべて自由とした。節点数は周方向に48節点、長さ方向に49節点である。また図中の R は半径で300、 L は全長で600である。また板厚は3.0、ヤング率は 3.0×10^6 、ポアソン比は0.3として解析を行った。結果をTable 1に示す。Table 1は厳密解を1とした時の有限要素法解である。

3.2 上部18°をカットした Hemispherical shell

Fig. 4 に示すような上部18°をカットした半径10の1/8球モデルを使用してベンチマークテストを行った。このモデルは双曲面を有し曲面シェル要素のベンチマークテストとして有効である。荷重を点A、点Bに $P=1$ 作用させ荷重点の変位を理論値²⁾と比較した。モデルの板厚は0.04、ヤング率は 6.8×10^7 、ポアソン比を0.3として解析を行った。節点数は辺AB辺AD共に49節点を持つように分割した。結果をTable 2に示す。Table 2は厳密解を1とした時の有限要素法解である。

以上のベンチマークテストをおこなったことにより以下の知見を得た。

1. 曲面シェル要素はどの要素も正確な値を得ることができる。
2. 曲面構造物では多節点要素を用いると少ない要素分割でも精度の良い解を得ることができる。

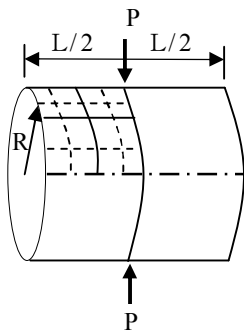


Fig. 3. Pinched cylinder with rigid end diaphragms

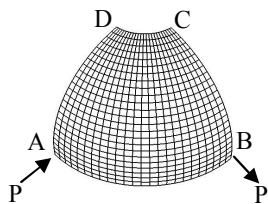


Fig. 4 Hemispherical shell with 18° hole

Table 1 Accuracy of MITC elements

Exact = 0.18248×10^{-4}

	W_{FEM} / W_{Exact}
MITC4	0.87
MITC9	1.03
MITC16	1.04

Table 2 Accuracy of MITC elements

Exact = 0.0924

	W_{FEM} / W_{Exact}
MITC4	0.89
MITC9	1.06
MITC16	1.04

4. 球殻の解析

本章ではMITCシェル要素を用いて曲面構造物である球殻の解析を行う。初期不整の影響により球殻の座屈強度は低下する。また球殻は座屈後の荷重保持能力が低下する。そこで後座屈の挙動を現す **b-factor** について詳しく考える。**b-factor** は球殻や円筒等の座屈後の挙動を示す係数であり **b-factor** がプラスの時は座屈後も荷重保持能力は増加し、**b-factor** がマイナスの場合は座屈後の荷重保持能力は低下する。円筒、球殻の場合には一般に **b-factor** はマイナスである。この初期不整による座屈強度の低下率と座屈後の荷重保持能力の低下を精度良く推定することは重要なことである。そこでここでは有限要素法によって解析を行うことにより球殻の座屈強度の低下率を求め過去の実験的研究(1981)など^{3) 4)}と比較検討する。

4.1 球殻の理論

初期不整が強度低下におよぼす影響は以下のKoiterの座屈後の挙動を示す理論式(3)⁵⁾を展開することにより推測される。

$$(1-\rho)\xi + a\xi^2 + b\xi^3 + \dots = \rho\bar{\xi} + \text{order}(\xi, \bar{\xi}) \dots (3)$$

(3)式で ρ はノックダウンファクターと呼ばれるもので初期たわみを有することでの強度低下を示すものであり式中の b が **b-factor** である。(3)式において球殻の場合 a は0となり、また高次の項を無視すると(4)式となる。

$$\left(1 - \frac{\lambda}{\lambda_{cl}}\right)\xi + b\xi^3 = \frac{\lambda}{\lambda_{cl}}\bar{\xi} \dots (4)$$

(4)式を両辺 ξ で微分して ξ を求め、(4)式に再度代入することで(5)式が得られる。(5)式をグラフ化するとFig. 5ようになる。Fig. 5より **b-factor** と初期不整 $|\bar{\xi}|$ が強度低下におよぼす影響が大きいことが分かる。

$$\left(1 - \frac{\lambda}{\lambda_{cl}}\right)^{\frac{3}{2}} = \frac{3\sqrt{3}}{2}(\sqrt{-b})|\bar{\xi}| \frac{\lambda}{\lambda_{cl}} \dots (5)$$

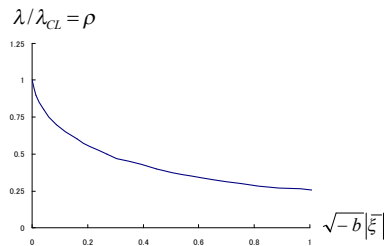


Fig. 5 Effect of initial deflection and b-factor on knockdown factor

4.2 解析対象

Odland の実験的および理論的検討³⁾に用いられた球殻モデルである Toroidal Shell Segment を解析対象とした。解析対象を Fig. 6 に示す。詳しい寸法、材料定数は Table 3 に示す。Table 3 中における R は半径、t は板厚、 ν はポアソン比、E はヤング率である。

4.3 荷重条件

荷重は子午線方向の圧縮または引っ張り P、外圧 p の 2 つを考えた。外圧のモデル化は各節点での法線方向にその点の要素の面積に対して力を作用させる。P と p の合力によって子午線 ϕ 方向に σ_ϕ が作用し、面内 θ 方向に σ_θ が作用する。この 2 つの外力を変化させて $\sigma_\phi/\sigma_\theta$ を変化させる。ここで、 σ_ϕ 、 σ_θ は(6)式で表される。(6)式中の ϕ_0 は Fig. 6 に示す。

$$\begin{aligned}\sigma_\phi &= -\frac{1}{t} \frac{pR}{2} \cos^2 \phi_0 - \frac{P}{2\pi R} \quad \dots (6) \\ \sigma_\theta &= -\frac{1}{t} \left(pR - \frac{1}{2} \frac{pR}{\cos^2 \phi_0} - \frac{P}{2\pi R} \right)\end{aligned}$$

4.4 初期撓み

初期撓みは、1/4 モデルに対して周方向に 10 半波、子午線方向に 1 または 2 半波となるように、式(7)で与えた。ただし、ここで $m=10$ 、 $n=1$ または 2 である。また解析時、初期撓み小という場合は(7)式の 1/100 の初期たわみを与えたものである。最大初期撓み量 δ_0 は DNV の Classification Notes, No.30.3⁹⁾を参考に与えた。

$$\delta = \delta_0 \cos(4m\phi) \sin \frac{n}{\alpha} (\theta + \phi_0) \quad \dots (7)$$

4.5 有限要素法解と解析解の比較

本節では以上の解析条件において非線形有限要素法解析を行い、解析結果より得たノックダウンファクター

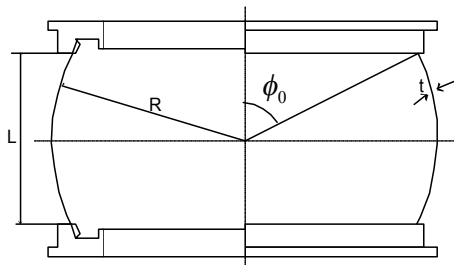


Fig. 6 Toroidal Shell Segment model

Table 3 Dimensions and material properties of the model

R[mm]	t[mm]	L[mm]	ν	E[MPa]
1000	2	800	0.3	70000

ρ 、後座屈挙動係数 b と解析解による ρ 、b との比較を行う。ここでは Odland, Dnv の Classification Notes と比較する。Dnv の Class-Notes における球殻の座屈に関するルールは以下のように定められている。

ノックダウンファクターを考慮に入れた座屈荷重は以下の(8)式で求められる。

$$N_{cr} = \Phi \sigma_0 t \quad \dots (8)$$

ここで Φ は塑性修正式、 σ_0 は降伏応力、t は板厚である。塑性修正式は(9)式で表される。(9)式中の λ は(10)式で表され、降伏応力と弾性状態での座屈応力の比である。

$$\Phi = \frac{1}{\sqrt{1+\lambda^2}} \quad \dots (9)$$

$$\lambda = \sqrt{\frac{\sigma_0}{\sigma_e}} \quad \dots (10)$$

ここで(10)式中の σ_e は(11)式である。

$$\sigma_e = \rho \frac{E}{\sqrt{3(1-\nu^2)}} \frac{t}{R} \quad \dots (11)$$

ここでノックダウンファクター ρ は以下の(12)式を $h=0$ として解くことで求められる。

$$h = (1-\rho)^{3/2} - \frac{3\sqrt{3}}{2} \sqrt{-b} \frac{\delta}{t} \rho \quad \dots (12)$$

(12)式は Koiter の後座屈理論の式であり、ここで t は板厚であり b-factor, b は(13)式のように定められている。また δ は初期撓み量である。

$$b = -0.5e^{1.15(\sigma_\phi/\sigma_\theta)} \quad \dots (13)$$

解析的には(13)式で b を求め、(12)式を解くことで ρ を得る。

また、(8)式に(9)、(10)、(11)式を代入すると(14)式となる。ここで弾性解析を行う時(14)式中の σ_0 は無限大と考えられるので(14)式は(15)式となる。

$$N_{cr} = \frac{t}{\sqrt{\frac{1}{\sigma_\phi^2} + \frac{1}{\sigma_\theta^2}}} \quad \dots (14)$$

$$N_{cr} = \sigma_0 t = \rho \frac{E}{\sqrt{3(1-\nu^2)}} \frac{t}{R} t = \rho \sigma_{cl} t \quad \dots (15)$$

(15)式中の σ_{cl} は球殻に一樣圧縮が作用した時の古典座屈応力であるので有限要素法解析による b-factor, ρ は解析によって得られた σ_θ を σ_{cl} で除することで ρ を求め、 ρ を(12)式に代入することで b-factor が求まる。

ここで有限要素法解析を行った $\sigma_\phi/\sigma_\theta = -0.296$ 、 -0.145 、 0.096 、 0.49 、 1.38 の 5 パターンについてのルール式と有限要素法解析による ρ を求め、Table 4 に示す。

Table 4 より、 $\sigma_\phi/\sigma_\theta = 1.38$ の最大初期撓みが 0.0067 の時を除いてルール式のノックダウンファクターと有限要

素法解析によるノックダウンファクターが良く一致していることが分かる。

また Table 4 で求めたノックダウンファクターより有限要素法解析による b-factor を求め Fig. 7 に示す。縦軸は荷重条件 $\sigma_\phi/\sigma_\theta$ で、横軸は b-factor である。また図中の黒丸破線は(13)式で示される Dnv Classification Notes における定式であり、二重丸破線は Odland による定式である。Fig. 7 より初期撓みが大きい場合、有限要素法解析による b-factor は Dnv 式、Odland 式と非常に近い値を示すことが分かる。

4.6 塑性修正についての考察

4.5 では有限要素法解析における弾性解析を行い(14)式における降伏応力を無限大と考えることでルール式との比較を行った。本節では材料の非線形性を考慮した有限要素法解析を行うことでルール式の塑性修正を考慮した解と有限要素法解について比較する。

荷重条件は $\sigma_\phi/\sigma_\theta = -0.296$ において降伏応力を 127[MPa]として解析を行った。その他の解析条件は弾性解析時と同じである。解析解において塑性修正を考慮する時、(10)式の σ_0 を 127[MPa]とすることで(15)式は(16)式となる。ここで ρ' は初期不整による強度低下率と塑性化による強度低下率の両方を考慮に入れた強度低下率である。Table 5 は ρ' をルール式と有限要素法解において比較したものである。

塑性化を考慮に入れた場合もルール式による強度低下率と有限要素法解析による強度低下率は非常に近い値を示す。

$$N_{cr} = \Phi \sigma_0 t = 0.355 \sigma_0 t = \rho' \sigma_0 t \quad \dots (16)$$

Table4 Knock down factor ρ of analytical solution and FEM

$\sigma_\phi/\sigma_\theta$	δ_0	ρ		
		Dnv	FEM(n=2)	FEM(n=1)
-0.30	0.41	0.52	0.52	0.55
	0.0041	0.97	1	0.99
-0.15	0.59	0.43	0.43	0.41
	0.0059	0.96	0.98	0.98
0.0869	0.75	0.36	0.37	0.34
	0.0075	0.94	0.98	0.98
0.49	0.73	0.32	0.31	0.35
	0.0073	0.94	0.91	0.92
1.38	0.67	0.24	0.24	0.24
	0.0067	0.92	0.71	0.72

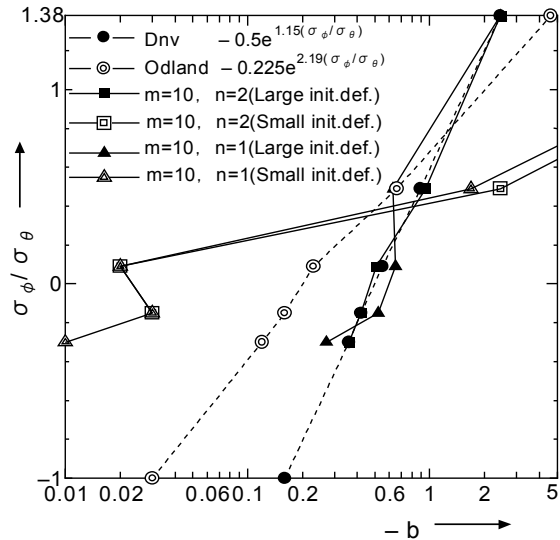


Fig. 7 b-factor for the spherical shell segments

Table5 Knock down factor ρ' of analytical solution and FEM

$\sigma_\phi/\sigma_\theta$	δ_0	ρ'		
		Dnv	FEM(n=2)	FEM(n=1)
-0.30	0.41	0.36	0.32	0.31

5. 結言

本研究においては多節点 MITC 曲面シェル要素を導入し、曲面構造物の解析を非常に精度よく解析できることを確認した。さらに MITC シェル要素を用いて初期不整形、初期不整量、応力状態を変化させて球殻の解析を行い、強度低下率を算出し、過去の実験と良く一致することを確認した。この結果より非線形有限要素法解析による初期不整を有する球殻の座屈強度低下の解析手法の有用性を示すことができた。

参考文献

- 1) Ted Belytschko and Bak Leong Wong : Assumed Strain Stabilization Procedure for the 9-Node Lagrange Shell Elements, International Journal for Numerical Methods in Engineering, Vol28, 385-414 (1989)
- 2) M.L. Buelem and K.J. Bathe: Higher-Order MITC General Shell Elements, International Journal for Numerical Methods in Engineering, Vol36, 3729-3754 (1993)
- 3) Odland, J. : Theoretical and Experimental Buckling Loads of Imperfect Spherical Shell Segments, Journal of Ship Research, Vol.25, No. 3, Sept. 1981
- 4) Dnv : Classification Notes "Buckling Criteria of LNG Spherical Cargo Tank Containment Systems-Skirt and Sphere" Note No.30.3 December 1997
- 5) Hutchinson, W.T. : Imperfection Sensitivity of Externally Pressurized Spherical Shells, J. Appl. Mech. 34, 1967